

Werk

Label: Periodical issue

Jahr: 1932

PURL: https://resolver.sub.uni-goettingen.de/purl?31311028X_0061|log4

Kontakt/Contact

Digizeitschriften e.V.
SUB Göttingen
Platz der Göttinger Sieben 1
37073 Göttingen

✉ info@digizeitschriften.de

ROČNÍK 61.

SEŠIT 1.

ČASOPIS

PRO PĚSTOVÁNÍ

MATEMATIKY A FYSIKY

Část matematickou řídí BOHUMIL BYDŽOVSKÝ s redakční radou:
EDUARDEM ČECHEM, KARLEM PETREM a KARLEM RYCHLÍKEM

Část fysikální řídí AUGUST ŽÁČEK s redakční radou:
VÁCLAVEM DOLEJŠKEM, BOHUSLAVEM HOSTINSKÝM
a FRANTIŠKEM ZÁVIŠKOU.

Přílohu didakticko-metodickou řídí JAROSLAV FRIEDRICH.

Rozhledy matematicko-přírodovědecké řídí JAN SCHUSTER.

Bibliografické zprávy a Věstník řídí MILOSLAV VALOUCH.

VYDÁVÁ

JEDNOTA ČESKOSLOVENSKÝCH MATEMATIKŮ A FYSIKŮ

ZA PODPORY MINISTERSTVA ŠKOLSTVÍ A NÁRODNÍ OSVĚTY.



V PRAZE 1931.

TISKEM A NÁKLADEM VLASTNÍM.

10.8.21

8. Praha I, 7

Journal Tchécoslovaque de Mathématique et Physique.

Éditeur: Jednota čsl. matematiků a fysiků, Praha II-1559, Tchécoslovaquie.

Obsah seš. 1. — Sommaire du fasc. 1.

Rozhledy matematicko-přírodovědecké, čís. 1 — Revue des sciences mathématiques et naturelles, No. 1.

Jos. Klíma: O jistých geom. místech a příslušných konstrukcích kuželoseček. (Sur certaines lieux géométriques et les constructions des coniques correspondantes)	1
Jan Schuster: O obsahu trojúhelníka. (Sur l'aire du triangle)	8
Marie Volcová: Měření rychlosti světla pomocí Kerrova elektro-optického zjevu. (Mésure de la vitesse de la lumière à l'aide du phénomène électrooptique de Kerr)	10
Arnošt Dittrich: Čínská měření slunovratu. (Détermination du solstice chez les Chinois)	17
Václav Špaček: Původní vývěva Guerickova. (La pompe originale de Guericke)	25
Úlohy. (Problèmes)	28
Vypsání cen za řešení. (Concours)	
Bibliografické zprávy, čís. 1 — Notes bibliographiques, No. 1.	
Věstník JČMF, čís. 1 — Bulletin, No. 1.	

Upozornění pp. přispěvatelům. Příspěvky literární, jakož i zprávy týkající se o b s a h u »Časopisu« jest zasílati redaktorům přímo nebo prostřednictvím spolkové kanceláře.

Přesahují-li příspěvky d v a tiskové archy, jest třeba k jejich otištění schválení výboru. Recenze knih cizojazyčných buděž stručné (ne přes 1 tiskovou stránku). Ke každému článku budiž připojen s t r u č n ý v ý t a h, pokud možno v jazyce francouzském. Přeje-li si autor písemně zprávy od redakce, nechť přiloží známku na odpověď.

Rukopis budiž psán čitelně, pokud lze strojem, po jedné straně a náležitě upraven k tisku; řecká písmena buděž psána červeně neb aspoň červeně podtržena. Slova, jež mají být vytisknuta **tučně**, dlužno podtrhnouti úsečkou — *kursivou*, vlnitě — *prostrk a ná*, čárkovaně. Neobvyklé značky, cizí písmena, odlišné vyznačování typografické úpravy a pod. je nutno na začátku rukopisu vysvětliti. Funkční znaky se tisknou písmem obyčejným, argumenty kursivou. Pravopis řídí se zásadami obsaženými v »Pravidlech českého pravopisu«. Obrazce schopné reprodukce buděž nakresleny ve zvětšení trojnásobné, jinak se zhotoví neb opraví na náklad autorův. Autorské korektury připisují se autorům k téži. Rukopisy článků nepřijatých do tisku se nevracejí. Korektury (autorům se posílá **jen** korektura sloupcová) buděž vráceny co nejdříve. Autoři se snažně žádají, aby korekturu prováděli **co nejpečlivěji**. Za obsah článku odpovídá jeho autor.

Každý autor vědeckého článku obdrží bezplatně **25 separátů** svého článku (vyjímaje články referující). Přeje-li si autor větší počet separátů než uvedených 25, musí je objednat zvláště tím, že objednávku napíše zřetelně na sloupcovou korekturu svého článku. Ceny za každých dalších 25 separátů: $\frac{1}{4}$ archu 8 Kč, $\frac{1}{2}$ archu 16 Kč, $\frac{3}{4}$ archu 24 Kč, 1 archu 32 Kč.

Toto číslo vyšlo 20. října 1931.

ČÁST MATEMATICKÁ.

O konstrukcích ploch 2. stupně, daných imaginární kuželosečkou a sdruženě imaginárními body neb tečnými rovinami.

Napsal Dr. techn. Karel Kořízek.

(Došlo 25. června 1931.)

Konstrukcím uvedeným nebyla, pokud vím, věnována pozornost, ačkoliv nejsou pouhou aplikací známých konstrukcí kuželoseček z imaginárních elementů. Jsou zajímavé také tím, že speciálně pro kružnice imaginární dají se řešit též kolineací. V tomto pojednání chci podat jen stručný, obecný nástin řešení uvedených úloh, při čemž budu předpokládat pouze plochy reálné a k dalšímu, známému konstruování úplně způsobilé, jakmile na nich budou určeny 3 reálné kuželosečky, resp. 3 kužele dotyčné, a při řešení kolineací, bude-li znám střed i rovina kolineace, jakož i plocha kulová, k dané ploše kolineárně příslušná.

Naše konstrukce bude ovšem předpokládat pouze plochy 2. stupně nepřímkové, neboť reálná rovina (ve které jest imaginární kuželosečka K^i dána) nemůže protínati plochu přímkovou 2. stupně v imaginární kuželoseče.

Jde o konstrukce plochy 2. stupně určené:

Imaginární kuželosečka K^i v reálné rovině π a

I. 2 páry sdruženě imaginárních bodů $a_i, b_i; c_i, d_i$;

II. 1 párem sdruženě imaginárních bodů a_i, b_i a párem sdruženě imaginárních rovin tečných γ_i, δ_i ;

III. 2 páry sdruženě imaginárních rovin tečných $\alpha_i, \beta_i; \gamma_i, \delta_i$.

Při tom kuželosečka K^i nechť jest dána reálným středem s reálnými osami a na každé z nich eliptická involuce sdružených pólů ještě jedním párem. Pár imaginárních bodů a_i, b_i jest dán na přímce E středem o_E eliptické involuce I_E a absolutní hodnotou potence, vyjádřenou úsečkou $o_E e_0 \perp E$, pár imaginárních bodů c_i, d_i obdobně na přímce F středem o_F eliptické involuce I_F a úsečkou $o_F f_0 \perp F$, dále imaginární tečné roviny α_i, β_i , procházející přímkou

G určeme párem, jehož úhel rozpolují 2 příslušné roviny involuce I_G , k sobě kolmé, a podobně imaginární roviny tečné γ_i, δ_i , procházející přímkou H , stanovme takovým párem involuce I_H .

I.

Plocha 2. stupně \mathbf{P}^2 jest určena imaginární kuželosečkou K^i a 2 družinami imaginárních bodů $a_i, b_i; c_i, d_i$.

Sestrojiti její 3 reálné kuželosečky.

Přímka $a_ib_i \equiv E$ protne rovinu π kuželosečky v bodě p_E ; $c_id_i \equiv F$ nechť protne π v bodě p_F . K bodu p_E přísluší v involuci I_E sdružený pól p'_E a k bodu p_F v involuci I_F bod sdružený p'_F . Dále k bodu p_E přísluší vzhledem ke kuželosečce K^i polára \tilde{P}_E a k bodu p_F přísluší pro tutéž kuželosečku polára \tilde{P}_F . Rovina $(p'_EP_E) \equiv \pi_E$ jest pak polární rovinou plochy \mathbf{P}^2 vzhledem k pólu p_E a rovina $(p'_FP_F) \equiv \pi_F$ jest polární rovinou její vzhledem k pólu p_F . Obě roviny se protínají v přímce R' , která jest druženou polárou ke spojnici $p_Ep_F \equiv R$. Přímka R protíná plochu \mathbf{P}^2 v bodech imaginárních (neboť to jsou průsečíky té přímky s imaginární kuželosečkou K^i), tedy její sdružená polára R' musí \mathbf{P}^2 protínati v bodech reálných. Rovina $(ER) \equiv \epsilon$ protíná plochu \mathbf{P}^2 v kuželosečce K^ϵ , určené sdruženě imaginárnimi body a_i, b_i , imaginár. samodružnými body i, j eliptické involuce $[p_E, p^1_E; p_F, p^1_F]$ na R (kde $p^1_E \equiv (P_ER)$, $p^1_F \equiv (P_FR)$) a pólem r'_E přímky R v průsečíku $(R'\epsilon)$.

Podobně rovina $(FR) \equiv \varphi$ protne \mathbf{P}^2 v kuželosečce K^φ , určené imaginárnimi body c_i, d_i , dále imaginárnimi body i, j a pólem r'_F přímky R v průsečíku $(R'\varphi)$.

Každá rovina ϱ , položená přímkou R' , musí plochu \mathbf{P}^2 protínati v reálné kuželosečce K^ϱ (poněvadž R' protíná \mathbf{P}^2 v reálných bodech), která bude určena 3 páry bodů, v nichž rovina ϱ' té kuželosečky protíná kuželosečky $K^i, K^\epsilon, K^\varphi$, (jejichž roviny jdou přímkou R) a polárou R' společného průsečíku r' spojnic těch 3 páru bodů. Je tedy třeba určiti průsečíky kuželosečky K^ϵ s přímkou $(\varrho\epsilon)$, která musí procházeti průsečíkem $(R'\epsilon)$ a podobně průsečíky kuželosečky K^φ s přímkou $(\varrho\varphi)$, která jde průsečíkem $(R'\varphi)$. Jde tedy o řešení úlohy:

a) Kuželosečka dána 2kráte dvěma sdruženě imaginárnimi body a pólem spojnice 2 z nich, který ovšem musí být dán na poláře průsečíku spojnic těch sdruženě imaginárních bodů. Sestrojiti její průsečíky s přímkou, procházející tím pólem. Tato úloha se nám vyskytne též v dalších konstrukcích, i rozrešíme ji zvlášť.

Označíme-li nositelky těch 2 involucí, určujících sdruženě imaginární body, I_1, I_2 , pak bude průsečíku obou q příslušet v involuci I_1 bod q_1 a v involuci I_2 bod q_2 . Spojnice q_1q_2 jest polára Q

bodu q a na té zvolme pól i_1 poláry I_1 . Přímku, procházející bodem i_1 , označme P .

Určeme involuci sdružených pólů na přímce Q . Jeden známý pár tvoří body i_1, q_1 a druhým párem budou ony dva reálné body x, y , v nichž se protínají vždy podvojně sdružené spojnice těch 4 imaginárních bodů. Stanovíme je tím,¹⁾ že určíme v involuci I_1 sobě příslušné body k, l tak, že $(qq_1 kl) = -1$ a na I_2 rovněž sobě příslušné body m, n tak, že $(qq_2 mn) = -1$. Potom spojnice km protne poláru Q v bodě x a spojnice kn v bodě y . Involuce $I_Q \equiv \{[i_1, q_1; x, y]\}$ jest bud' hyperbolická neb eliptická. V případě první jest zřejmě příslušná kuželosečka reálná, v druhém imaginární.

Nyní již snadno určíme průsečíky u, v přímky P s tou kuželosečkou. K pólmu i_1 přísluší sdružený pól $i'_1 \equiv (PI_1)$ a k průsečíku $j \equiv (PI_2)$ přísluší sdružený pól $j' \equiv (PJ)$, je-li J polára bodu j . Tuto obdržíme jako spojnice bodu j_2 , příslušného k j v involuci I , a pólmu i_2 poláry I_2 (který přísluší k bodu q_2 v involuci I^Q). Body u, v jsou pak samodružné body involuce $[i_1, i'_1; j, j']$.

Tak bychom tedy určili žádané průsečíky s kuželosečkami K^e, K^o a známým způsobem též průsečíky s kuželosečkou danou K^i .

Další konstrukce kuželosečky K^e bude pak závislá na tom, zda kuželosečky K^e, K^o jsou obě reálné, či pouze jedna, neb žádná. V případě posledním, nejnepříznivějším, bychom určili jako v úloze a) involuci sdružených pólů na poláre R' pólmu r' , která musí být vzhledem k tomu, že bod r' leží vně reálné plochy P^2 , vždycky hyperbolická, a tedy i tečny z bodu r' k reálné kuželosečce K^e .

Dále bychom pak již sestrojili kuželosečku K^e některou ze známých konstrukcí.²⁾ Sestrojíme-li 3 kuželosečky K^e , bude tím plocha P^2 úplně k dalším konstrukcím určena.

II.

Plocha 2. stupně P^2 jest určena imaginární kuželosečkou K^i , dvěma imaginárními body a_i, b_i na přímce E a dvěma sdruženě imaginárními tečnými rovinami γ_i, δ_i , procházejícími přímkou H . Sestrojiti její 3 reálné kuželosečky.

Jako při konstrukci I. najdeme polární rovinu π_E , příslušnou k průsečíku $p_E \equiv (E\pi)$. Dále uvážíme, že přímka H , ježto jí procházejí imaginární tečné roviny plochy, musí protnouti plochu P^2 v reálných bodech a tečné roviny v nich protínají se ve sdružené poláre H' ku přímce H , která spojuje sdruženě imaginární dotyčné body tečných rovin, procházejících přímkou H a protiná rovinu π kuželosečky K^i v bodě s . Polární rovina σ bodu s musí být sdružená

¹⁾ V. Jarolímek: „Základové geometrie polohy“ díl IV., str. 32.

²⁾ V. Jarolímek: „Základové geometrie polohy“ díl II.

nou rovinou k rovině (sH) v involuci I_H , a bude mítí svoji stopu v přímce S , stopou p_H přímky H procházející, která však musí být zároveň polárou bodu s vzhledem ke kuželosečce K^i . Musí tedy bod s ležet na jednom z paprsků společného páru involuce, kterou indukuje v bodě p_H naše imaginární kuželosečka K^i a involuce, ve které protíná rovinu π involuci I_H .

Vzhledem k tomu, že obě involuce jsou eliptické, musí být ten společný pár reálný. Poněvadž pól s musí zřejmě ležet také na reálné poláře P_H bodu p_H vzhledem ke kuželosečce K^i , máme určen bod s jako průsečík jednoho neb druhého paprsku toho společného páru s polárou P_H , címkž jsme vedeni ke dvěma řešením. Rovina σ , polární k bodu s , je pak určena přímkami S, H . Spojíme-li dále pól s s bodem p_E , obdržíme přímku R a její sdružená polára jest průsečnicí R' polárních rovin π_E a σ . Potom máme určenu v rovině $\varepsilon \equiv (ER)$ kuželosečku K^ϵ plochy \mathbf{P}^2 jako při úloze a), t. j. eliptickou involuci sdružených pólů I_E , eliptickou involucí sdružených pólů I_R na přímce R a pólem r přímky R v průsečíku $(R'\varepsilon)$. Duálně máme určenu plochu kuželovou, ploše \mathbf{P}^2 opsanou, o vrcholu $v \equiv (R'H)$ dvěma páry imaginárních tečných rovin, daných eliptickými involucemi o osách R' a H a rovinou (vR) , polárně sdruženou ve svazku v s paprskem R' .

Každá rovina ϱ , položená přímou R' , musí protínati plochu P^2 v reálné kuželosečce K^ϵ (poněvadž R' plochu protíná v reálných bodech). Tato kuželosečka musí procházeti:

1. průsečíky roviny ϱ s danou imaginární kuželosečkou K^i , která se sestrojí známým způsobem;

2. průsečíky roviny ϱ s kuželosečkou K^ϵ , které se určí konstrukcí a ;

3. musí se dotýkat dvou sdruženě imaginárních tečen, v nichž rovina ϱ (bodem v procházející), protíná tu plochu kuželovou, ploše \mathbf{P}^2 opsanou.

Tato plocha kuželová bude určovati na rovině π kuželosečku, danou 2 eliptickými involucemi, které indukuje v bodech p_H , resp. r (stopě přímky R' na π) a polárou R bodu r .

Jde tedy o rozřešení této úlohy:

b) Kuželosečka jest dána 2kráte dvěma sdruženě imaginárnimi tečnami a polárou průsečíku 2 z nich, která ovšem musí procházeti pólem spojnice průsečíku těch sdruženě imaginárních tečen. Sestrojiti její průsečíky s přímou, procházející oním z daných průsečíků dvojic sdruženě imaginárních tečen, jehož polára je dána.

Provedeme ji opět samostatně a pokud možno duálně k úloze a). Označíme-li nositele těch 2 involucí i_1, i_2 , pak bude spojnici obou Q příslušeti v involuci i_1 paprsek Q_1 a v involuci i_2 paprsek Q_2 . Průsečík $(Q_1 Q_2)$ jest pól q přímky Q a jím zvolme poláru I_1 bodu i_1 . Libovolnou přímku, procházející bodem i_1 , označme P .

Určeme involuci sdružených polár v bodě q . Jeden známý pár tvoří paprsky I_1, Q_1 a druhým párem zvolme ony 2 reálné přímky X, Y , na nichž se nalézají podvojně sdružené průsečíky těch 4 imaginárních tečen.³⁾ Konstrukce jejich jest duální ke konstrukci v úloze a). Involuce $i_q \equiv [I_1Q_1, XY]$ jest pak buď hyperbolická (je-li kuželosečka reálná), nebo eliptická (je-li kuželosečka imaginární). Průsečíky u, v přímky P s tou kuželosečkou určíme jako samodružné body involuce sdružených pólů, ježíž jeden pár $i_1, i'_1 \equiv (I_1P)$ známe a druhý j, j' určíme takto:

K paprsku P určeme příslušný P' v involuci i_1 , který protne poláru I_1 bodu i_1 v pólu p přímky P . Přímka X , pólem q procházející, má pól x v průsečíku své sdružené poláry Y s polárou Q . Tedy k průsečíku $j \equiv (PX)$ musí příslušeti polára $J \equiv px$, která protne P v bodě j' , sdruženém k bodu j .

Další konstrukce kuželosečky K^e dá se pak již převésti na známé konstrukce kuželoseček z imaginárních elementů. Položíme-li přímku R' ještě 2 roviny, obdržíme tak 3 reálné kuželosečky naší plochy, čímž je úloha rozrešena.

III.

Plocha 2. stupně \mathbf{P}^2 jest určena imaginární kuželosečkou K^i v rovině π a 2 dvojicemi tečných rovin sdruženě imaginárních $\alpha_i, \beta_i; \gamma_i, \delta_i$, určených eliptickými involucemi sdružených rovin *polárních o osách G, H* .

Involuční svazek rovin o ose G protíná rovinu π v involuci paprskové o vrcholu p_G a pod. involuční svazek rovin o ose H protne rovinu π v involuci paprskové o vrcholu p_H . K bodu p_G přísluší polára P_G vzhledem ke kuželoseče K^i a k bodu p_H polára P_H vzhledem k téže kuželoseče. Sestrojme společný pár involuce, kterou indukuje kuželosečka K^i v bodě p_G , a involuce výše uvedené. Potom jeden z paprsků toho společného páru protne poláru P_G v bodě s_G , který jest pólem roviny σ_G , určené osou G a druhým paprskem S_G společného páru těch involucí.⁴⁾ Podobně najdeme bod s_H a jeho polární rovinu σ_H . Poněvadž volbu bodů s_G a s_H můžeme provést na čtvero způsobů, obdržíme 4 řešení.

Spojnici R bodů s_G, s_H přísluší průsečnice $R' = (\sigma_G \sigma_H)$ jako sdružená polára, procházející pólem r poláry R vzhledem ke kuželoseče K^i a protínající přímky G , resp. H v bodech g , resp. h . Nyní známe dotyčné kužele plochy \mathbf{P}^2 o vrcholech g , resp. h . Kužel o vrcholu g jest určen 2 tečnými rovinami α_i, β_i , dále tečnými rovinami φ_1, ψ_1 , jakožto samodružnými prvky eliptické involuce sdružených polárních rovin o ose R' a rovinou (gR) , polární k paprsku R' v polárním svazku o vrcholu g .

³⁾ V. Jarolímek: „Základové geometrie polohy“ IV. díl, str. 33.

⁴⁾ Podle odst. II.

Podobně jest určen kužel o vrcholu h dvěma imaginárními tečnými rovinami γ_i, δ_i , dále tečnými rovinami φ_i, ψ_i a rovinou (hR) , polární k paprsku R svazku h . Jak se dají takto určené plochy kuželové dále konstruovati, bylo uvedeno v předchozím. Položíme-li potom přímkou R' rovinu ϱ jako v předešlé úloze, bude protínati plochu P^2 v reálné kuželosečce, pro kterou budeme znáti 2 body, v nichž tato rovina protíná kuželosečku K^i a 4 tečny, v nichž protíná plochy kuželové o vrcholech g , resp. h . Tím jest opět v podstatě naše úloha rozřešena.

IV.

Jak bylo již na počátku řečeno, dají se naše úlohy v případě, že jest dána v rovině π imaginární kružnice K_i , výhodně řešiti centrální kolineací s plochou kulovou K' . Vztah kolineární jest výhodné určiti takto:

Nechť jest dána imaginární kružnice svým středem o a absolutní hodnotou potence elliptické involuce, kterou ta kružnice indukuje na libovolném průměru. Nanesme tuto potenci, jistou úsečkou vyjádřenou, na kolmici ve středu od tohoto bodu, čímž obdržíme bod s . Naši kružnice K_i přisudíme jako kolineární útvary imaginární kružnice kulovou v nekonečnu K'_i , ve které protíná, jak známo, úběžná rovina ν' každý pravoúhlý svazek polární. Potom příslušný střed kolineace bude zřejmě v bodě s . Roviná $\pi \equiv \nu$ bude potom rovinou příslušnou k rovině úběžné ν' , čili bude úběžnicí, se kterou musí být rovina kolineace rovnoběžná. Zvolme tedy kdekoliv rovinu ω , paralelní s rovinou $\pi \equiv \nu$ za rovinu kolineace. Pro danou rovinu kolineace ω , střed kolineace s a úběžnicí ν jest již určen centrálně kolineární vztah mezi 2 prostory P, P' a k prvnímu z nich čítáme plochu P^2 , danou imaginární kružnicí K_i a dalšími 4 prvky. Plocha P^2 se pak kolineárně transformuje v plochu, která bude určena 4 prvky, příslušnými k těm daným a křivkou, do níž se transformuje naše kuželosečka K_i . Touto křivkou jest však, následkem zvláštní volby středu kolineace s , imaginární kružnice kulová v nekonečnu K'_i , kterouž tedy musí příslušná plocha P'^2 k ploše P^2 procházeti, t. j. musí to být plocha kulová $K' \equiv P'_2$, jež bude určena těmi zbývajícími 4 prvky, příslušnými k daným prvkům plochy P^2 . Jestliže dovedeme plochu kulovou z těch 4 prvků konstruovati, dovedeme již také kolineací snadno konstruovati danou plochu P^2 .

V našem případě jde tedy o sestrojení plochy kulové:

1. ze 4 bodů podvojně sdruženě imaginárních;
 2. ze dvou bodů sdruženě imaginárních a 2 tečných rovin sdruženě imaginárních;
 3. ze 4 rovin podvojně sdruženě imaginárních.
- Všecky tyto úlohy provádí V. Jarolímek ve II. svazku svých „Základů geometrie polohy“.

Sur les constructions de quadriques déterminées par une conique imaginaire et par des points ou des plans imaginaires conjugués.

(Extrait de l'article précédent.)

L'auteur donne la construction d'une quadrique contenant une conique imaginaire K_i , située dans un plan réel π et

I. passant par deux couples de points imaginaires conjugués a_i, b_i, c_i, d_i ;

II. passant par un couple de points imaginaires conjugués a_i, b_i et touchant un couple de plans tangents imaginaires conjugués γ_i, δ_i ;

III. touchant deux couples de plans tangents imaginaires conjugués $a_i, \beta_i, \gamma_i, \delta_i$.

Il s'agit, dans toutes ces constructions, de déterminer une droite R' , conjuguée polaire à une certaine droite R , telle qu'un plan arbitraire passant par R' coupe la quadrique à construire suivant une conique réelle. Dans le cas I, on prend pour la droite R la droite joignant les points d'intersection p_E, p_F des droites $E \equiv a_i b_i$, $F \equiv c_i d_i$ avec le plan π . La construction du cas II exige qu'on trouve le point d'intersection s du plan π avec la polaire conjuguée H' de la droite $H \equiv \gamma_i \delta_i$. C'est le point d'intersection de la polaire p_H du point $p_H \equiv (H\pi)$ par rapport à la conique K_i , avec l'une des droites du couple commun à l'involution induite au point p_H par la conique K_i et à celle déterminée dans le plan π par les plans tangents γ_i, δ_i . La droite R est alors la droite joignant le point s à la trace de la droite $E \equiv a_i b_i$ dans le plan π . Dans la construction III, on détermine les points s_G, s_H , où le plan π est coupé par les polaires conjugués G', H' aux droites $G \equiv a_i \beta_i$, $H \equiv \gamma_i \delta_i$ comme dans le cas II; on prend comme droite R la droite joignant $S_{G'}, S_{H'}$.

Si K_i est un cercle, on peut faire usage de l'homographie centrale transformant la quadrique cherchée en une sphère; il faut choisir les éléments déterminant cette homographie de sorte que le cercle imaginaire donné se transforme en le cercle absolu de l'espace.

ČÁST FYSIKÁLNÍ.

O piezoelektrických vlastnostech křemene a jejich užití v oboru vysokofrekventní techniky.*)

Referuje V. Petržílka.

(Došlo 1. července 1931.)

Obsah:

1. Direktní zjev piezoelektrický.
2. Reciproký zjev piezoelektrický.
3. Vlastní frekvence křemenných deštiček.
4. Zjevy doprovázející kmitání křemenných deštiček.
5. Buzení vyšších harmonických kmitů.
6. Aplikace v oboru vysokofrekventní techniky:
 - a) Křemenné deštičky jakožto resonátory a normální frekvence.
 - b) Elektrické náhradní schéma křemenné deštičky.
 - c) Stabilisace frekvence vysílače.
 - d) Křemenné deštičky jakožto oscilátory.
7. Závěr.

1. Direktní zjev piezoelektrický.

Již r. 1817 poznal Haüy, že vápenec se stává elektrickým, jestliže jej stlačujeme. Tento zjev zůstal však nepovšimnut a teprve r. 1880 pozorovali a podrobně studovali „piezoelektrinu“ t. j. onen zjev, kde elektrický náboj na plochách krystalu je vyvolán mechanickým tlakem, Pierre a Jacques Curie. Jsou proto pokládáni za objevitele piezoelektriny, kterou popsal tak jasně, že pokládám za nevhodnější citovati zde úryvek z jejich původního pojednání:

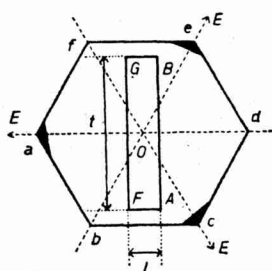
„... Našli jsme nový způsob, jak vzbudit polární elektřinu na krystalech s polárními osami (hémiedres à faces inclinées¹), který spočívá v tom, že jsou krystaly podrobeny změnám tlaku ve směru těchto os.“

*) Přednášky o tomto tematě konal profesor Žáček na Karlově universitě cyklu: „Speciální přednášky o experimentální fyzice“ v letním semestru 1930; tento článek je vypracováním jeho přednášek.

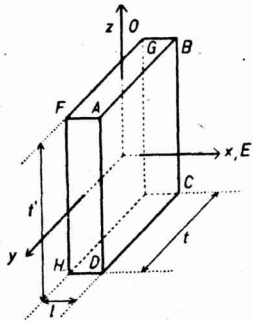
¹) V dnešní době nazývají se polární osy též osami elektrickými; vyznačují se jimi na př. krystaly soustavy trigonálně trapezoedrické (křemen, rumělka), ditrigonálně pyramidální (turmalín) a j.

Tyto zjevy jsou úplně analogické zjevům způsobeným teplem (pyroelektřina): při kompresi vzniknou na koncích osy, v jejímž směru tlak působí, náboje opačného znamení. Uvedeme-li krystal do stavu neutrálního a pak jej dekomprimujeme, objeví se tento zjev opět, avšak se změnou znamení; konec osy, který se nabíjel pozitivně při kompresi, stává se negativním při dekompresi a obráceně . . .“

V dnešní době se dá tento efekt, který budeme nazývat *direktním zjevem piezoelektrickým*, nejsnáze pozorovat na křemenných krystalech, které v přírodě přicházejí poměrně velmi čisté a dokonalé (brazilský křištál) a z toho důvodu se jich také ve vysokofrekventní technice užívá.



Obr. 1.



Obr. 2.

Křemen krystaluje v šesterečné soustavě a sice v oddělení trigonálně trapezoedrickém, v šestibokých hranolech zakončených šestibokými jehlany, jejichž vrcholy a, c, e jsou seříznuty, jak naznačeno schematicky v obr. 1. V důsledku toho není osa O osou symetrie šestičetné, nýbrž pouze osou symetrie trojčetné; patří tudíž křemen mezi krystaly s polárními osami (poloměrné, hemiedrické) a tudíž i piezoelektrické.

Osa O slouje osou optickou, osy E , v jejichž směru jeví krystal vlastnosti piezoelektrické, nazývají se osami elektrickými nebo polárními.

Představme si nyní, že si vybrousim z krystalu deštičku, jak ukazuje obr. 2, t. j. že plochy $ABCD$ a FGH stojí kolmo k ose elektrické, plochy $FABG$ a HDC k ose optické. Plochy $ABCD$ a FGH opatříme kovovými polepy, takže vytvoříme malý kondenzátor kapacity C . Stlačujeme-li deštičku ve směru elektrické osy, t. j. kolmo na polepy, vznikne na jednom pozitivní, na druhém negativní náboj Q a mezi oběma potenciální diference $V = Q/C$, kterou měřili P. a J. Curie Thomsonovým

elektrometrem. Jedná-li se nám spíše o demonstraci piezoelektrického efektu než o jeho měření, můžeme užítí uspořádání s dvoumřížkovou lampou, jak je znázorněno v obr. 3., kde závažím Z (5 kg) měníme tlak a tudiž i napětí V na mřížce M_2 , což má za následek změny anodového proudu, který pozorujeme miliampérmetrem mA .

Vedle toho ovšem můžeme dokázati piezoelektrické vlastnosti určité látky celou řadou jiných způsobů (jak z dalšího bude patrno), zejména velice jednoduchou metodou Giebeho a Scheibeho, o niž bude pojednáno v souvislosti v odst. 6a.

V další práci zjistili P. a J. Curie vztahy mezi nábojem Q vznikajícím na křemenné deštičce, deformujeme-li ji silou F , a vyslovili je těmito větami:

1. Deformujeme-li křemennou deštičku (obr. 2.) silou F_x ve směru elektrické osy E , pak vzniká na ploše kolmé k této ose náboj

$$Q = kF_x, \quad (1)$$

kde $k = 6 \cdot 32 \cdot 10^{-8}$ je piezoelektrická konstanta, měříme-li F_x v dynách a Q v jednotkách elektrostatických.

2. Deformujeme-li deštičku ve směru kolmém k ose optické a elektrické (t. j. osy y) silou F_y , vzniká na stěnách kolmých k ose elektrické náboj

$$Q = -k \frac{t}{l} F_y, \quad (2)$$

kde t je délka deštičky ve směru kolmém k ose optické a elektrické, l délka ve směru osy elektrické.

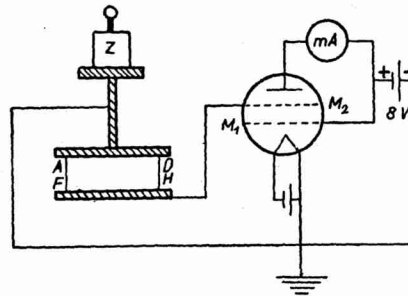
3. Stlačujeme-li deštičku ve směru osy optické, nedostaneme žádny náboj.

Tyto zákony byly potvrzeny fenomenologickou teorií Voigto-vou, která je založena na následujícím předpokladu:

Každá deformace piezoelektrického krystalu vyvolá elektrickou polarisaci (elektrická polarisace = hustotě elektrického náboje vznikajícího na plochách krystalu) o složkách π_x, π_y, π_z , které jsou lineárními funkcemi elasticitních deformací x_x, x_y, x_z, \dots , takže při libovolně položeném systému x, y, z , platí:

$$\left. \begin{aligned} \pi_x &= \epsilon_{11}x_x + \epsilon_{12}y_y + \epsilon_{13}z_z + \epsilon_{14}y_z + \epsilon_{15}z_x + \epsilon_{16}x_y \\ \pi_y &= \epsilon_{21}x_x + \epsilon_{22}y_y + \epsilon_{23}z_z + \epsilon_{24}y_z + \epsilon_{25}z_x + \epsilon_{26}x_y \\ \pi_z &= \epsilon_{31}x_x + \epsilon_{32}y_y + \epsilon_{33}z_z + \epsilon_{34}y_z + \epsilon_{35}z_x + \epsilon_{36}x_y \end{aligned} \right\}, \quad (3)$$

kde ϵ_{ij} slouží piezoelektrické konstanty.



Obr. 3.

Měření podává však vztahy mezi nábojem t. j. mezi π_x , π_y , π_z a mezi mechanickými tlaky, které deformaci způsobují a které jsou kompensovány elastickými napětími. Zavedeme-li tedy do počtu místo těchto tlaků záporná elastická napětí $-X_x$, $-Y_y$, $-Z_z, \dots$, která jsou podle Hookova zákona lineárními funkcemi elastických deformací x_x, y_y, z_z, \dots , můžeme psát (po provedení této transformace):

$$\left. \begin{aligned} -\pi_x &= d_{11}X_x + d_{12}Y_y + d_{13}Z_z + d_{14}Y_z + d_{15}Z_x + d_{16}X_y \\ -\pi_y &= d_{21}X_x + d_{22}Y_y + d_{23}Z_z + d_{24}Y_z + d_{25}Z_x + d_{26}X_y \\ -\pi_z &= d_{31}X_x + d_{32}Y_y + d_{33}Z_z + d_{34}Y_z + d_{35}Z_x + d_{36}X_y \end{aligned} \right\}, \quad (4)$$

kde d_{ij} slují piezoelektrické moduly.

Počet konstant ϵ_{ij} resp. d_{ij} se zmenší v důsledku speciálních vlastností toho kterého krystalu; pro křemen, krystalující v soustavě trigonálně trapezoedrické, platí podle Voigta

$$\begin{aligned} d_{11} &= d_{11}, \quad d_{12} = -d_{11}, \quad d_{14} = d_{14}, \quad d_{25} = -d_{14}, \quad d_{26} = -2d_{11}, \\ d_{13} &= d_{15} = d_{16} = d_{21} = d_{22} = d_{23} = d_{24} = d_{31} = d_{32} = d_{34} = d_{35} = d_{36} = 0, \end{aligned}$$

takže rovnice (4) nabývají tvaru

$$\left. \begin{aligned} \pi_x &= -d_{11}(X_x - Y_y) - d_{14}Y_z \\ \pi_y &= d_{14}Z_x + 2d_{11}X_y \\ \pi_z &= 0 \end{aligned} \right\} \quad (5)$$

Z rovnice (5) plynou okamžitě zákony Curieovy (klademe-li osu x do směru elektrické osy E , osu y do směru kolmého k ose elektrické a optické, obr. 2):

1. Působíme-li na stěnu $ABCD$ o ploše tt' silou F_x , jest $F_x = -X_x \cdot tt'$, $X_y = Y_y = Y_z = Z_x = 0$, takže

$$\pi_x \cdot tt' = Q = d_{11}F_x, \quad (6)$$

což je v úplném souhlasu s rovnicí (1), klademe-li $k = d_{11}$.

2. Působíme-li na stěnu $FADH$ o ploše lt' silou F_y , jest $F_y = -Y_y \cdot lt'$, $X_x = Y_z = Z_x = X_y = 0$, takže

$$\pi_x \cdot lt' = -d_{11}F_y.$$

Náboj na ploše $ABCD$ jest $Q = \pi_x \cdot tt'$, takže

$$Q = -d_{11} \frac{t}{l} F_y, \quad (7)$$

opět v úplném souhlasu s rovnicí (2), kde opět $d_{11} = k$.

3. Třetí rovnice ze systému (5) potvrzuje třetí pravidlo Curieovo.

2. Reciproký zjev piezoelektrický.

Pro užití křemených krystalů ve vysokofrekventní technice je však nejdůležitější t. zv. *reciproký zjev piezoelektrický*, předpověděný z termodynamických úvah Lippmannem. Spočívá v tom, že elektrické napětí, které vložíme na plochy kolmé k ose elektrické, způsobí dilataci resp. kompresi deštičky; důkaz existence tohoto zjevu ve směru osy x -ové (obr. 2.) zde stručně podávám.

Uvažujme deštičku křemennou, základní tloušťky l_0 , oka-mžité tloušťky l , jejíž stěny $ABCD$ a FGH (obr. 2.) nechť mají pro jednoduchost jednotkovou plochu; podrobíme je tlaku f_x a uvedeme na potenciál V , takže na polepech vznikne náboj $\sigma = CV$ (= hustotě, neboť plocha je jednotková), a hledejme relativní prodloužení $x_x = (l - l_0)/l_0$ jakožto funkci napětí V .

Tento termodynamický systém je charakterisován veličinami f_x , V a T (absolutní temperatura), které budeme považovati za nezávisle proměnné, a které změníme o df_x , dV , dT . Tím vykoná systém práci, která se bude skládati: jednak z mechanické práce

$$f_x dl = f_x \left(\frac{\partial l}{\partial T} dT + \frac{\partial l}{\partial f_x} df_x + \frac{\partial l}{\partial V} dV \right), \quad (8)$$

jednak z práce elektrické, kterou nutno podrobněji uvážiti. Zvětší-li se potenciál V na $V + dV$, zvětší se tím náboj σ o $d\sigma$, takže systém vykoná práci $-V d\sigma$. Je-li však deštička sama piezoelektrická, má zvýšení tlaku za následek stoupnutí náboje o $d\pi_x$ (neboť plocha je jednotková, takže náboj = hustotě náboje = polarizaci π_x), takže zdroj dodá pouze náboj $(d\sigma - d\pi_x)$, čili systém vykoná pouze práci

$$-V(d\sigma - d\pi_x). \quad (9)$$

Podle první věty termodynamické množství dodaného tepla dQ se spotřebuje na zvýšení vnitřní energie dU a na vykonání práce dA , takže

$$dQ = dU + dA$$

čili podle (8) a (9)

$$\begin{aligned} dQ &= dU + f_x dl + V d(\pi_x - \sigma) = d\bar{U} - l df_x - (\pi_x - \sigma) dV = \\ &= \frac{\partial \bar{U}}{\partial T} dT + \left(\frac{\partial \bar{U}}{\partial f_x} - l \right) df_x + \left(\frac{\partial \bar{U}}{\partial V} - (\pi_x - \sigma) \right) dV, \end{aligned} \quad (10)$$

označíme-li

$$\bar{U} = U + f_x l + V(\pi_x - \sigma).$$

Zavedeme-li do počtu entropii S vztahem

$$dS = \frac{dQ}{T}, \quad (11)$$

porovnáme-li rovnice (10) a (11) a vyloučíme-li entropii S a vnitřní energii U dvakrát po sobě opakováním derivování, obdržíme

$$\frac{\partial l}{\partial V} = \frac{\partial \pi_x}{\partial f_x} - \frac{\partial \sigma}{\partial f_x}, \quad (12)$$

Člen $\partial \sigma / \partial f_x$, který souvisí s elektrostrikcií, je zanedbatelný vůči členu $\partial \pi_x / \partial f_x$, který souvisí s piezoelektrinou, takže dostáváme konečnou rovnici

$$\frac{\partial l}{\partial V} = \frac{\partial \pi_x}{\partial f_x}$$

čili

$$\partial \frac{(l - l_0)}{l_0} = \partial x_x = \frac{\partial \pi_x}{\partial f_x} \cdot \partial \left(\frac{V}{l_0} \right) = \frac{\partial \pi_x}{\partial f_x} \partial \mathfrak{E}_x, \quad (13)$$

zavedeme-li relativní prodloužení $(l - l_0)/l_0 = x_x$ a elektrickou sílu $\mathfrak{E}_x = V/l_0$. Ježto $f_x \cdot t' = F_x$, jest podle rovnice (6) $\partial \pi_x / \partial f_x = d_{11}$ takže integrací rovnice (13) plyne

$$x_x = d_{11} \mathfrak{E}_x, \quad (14)$$

t. j. relativní prodloužení uvažované deštičky ve směru osy x způsobené elektrickou silou \mathfrak{E}_x jest této sile úměrné; konstanta úměrnosti jest již známá konstanta piezoelektrická $d_{11} = k$.

Reciproký zjev piezoelektrický byl skutečně objeven opět bratřími Curieovými, kteří jej popsali takto:

„...Naše poslední pokusy ukazují, že obráceně, vložíme-li elektrické náboje opačného znamení na konce osy poloměrného krystalu, krystal se směrem této osy kontrahuje resp. dilatuje podle směru, ve kterém bylo napětí na krystalu aplikováno,

Smysly obou reciprokých zjevů jsou mezi sebou vázány obecným pravidlem, jehož znění přejímáme od Lippmanna, a které není než zobecněním pravidla Lenzova:

Smysl (rozumí se zde smysl deformace, t. j. jedná se buď o kontrakci nebo o dilataci) je vždy takový, že zjev reciproký se snaží zabránit vzniku zjevu direktního a naopak...“

P. a J. Curie zjistili dále, že

1. prodloužení δ_x ve směru osy elektrické způsobené napětím V je dáno výrazem

$$\delta_x = kV, \quad (15)$$

což je v úplném souhlasu s rovnicí (14), neboť

$$\delta_x = l - l_0 = d_{11} l_0 \mathfrak{E}_x = kV. \quad (16)$$

2. Napětí V ve směru osy x -ové způsobí dilataci resp. kontrakci ve směru kolmém k ose elektrické a optické velikosti

$$\delta_x = -k \frac{t}{l} V. \quad (17)$$

což lze analogicky jako v případě deformace ve směru osy x -ové dokázati z úvah Lippmannových.

3. Napětí ve směru osy optické nezpůsobuje deformaci.

3. Vlastní frekvence křemenných deštiček.

Tím jsme se dosud zabývali elektrostatickými zjevy pozorovanými ať už při direktním či reciprokém zjevu piezoelektrickém. První, kdo užil střídavého napětí na polepech kondensátoru s piezoelektrickým dielektrikem za tím účelem, aby uvedl křemennou deštičku do vynucených mechanických kmitů, byl Langevin (1917).

Deštička z křemene, jehož modul elasticity je

$$E = 8 \cdot 10^{11} \text{ cm g}^{-1} \text{ sec}^{-2},$$

specifická hmota $\sigma = 2.65 \text{ g cm}^{-3}$, rychlosť šíření vln křemem $v = \sqrt{E/\sigma} = 545.000 \text{ cm sec}^{-1}$, může totiž vykonávat, jsou-li její dimenze vhodně voleny, mechanické kmity o frekvenci několik set tisíc kmitů za sekundu. Frekvence n těchto kmitů souvisí s dobou kmitovou τ , rychlosťí v , kterou se elastické vlny křemem šíří, a délkom vlny λ vztahem

$$n = \frac{1}{\tau} = \frac{v}{\lambda}. \quad (18)$$

Poněvadž křemenná deštička délky l (obr. 2) kmitá tak (jako na př. tyč na obou koncích volná), že její základní vlna $\lambda = 2l$, jest podle vztahu (18) základní frekvence mechanických kmitů této deštičky

$$n_0 = \frac{v}{2l} = \frac{545.000 \text{ cm sec}^{-1}}{2l \text{ cm}} = \frac{2725}{l_{mm}} \text{ kilocyklů}, \quad (19)$$

měříme-li l v mm. Vložíme-li tudíž na tuto deštičku střídavé napětí, jehož frekvence je blízká frekvenci n_0 , pak se deštička v důsledku svých piezoelektrických vlastností deformuje a sice tak, že deformace sledují změny elektrického napětí, čili deštička se rozkmitá ve vynucených kmitech.

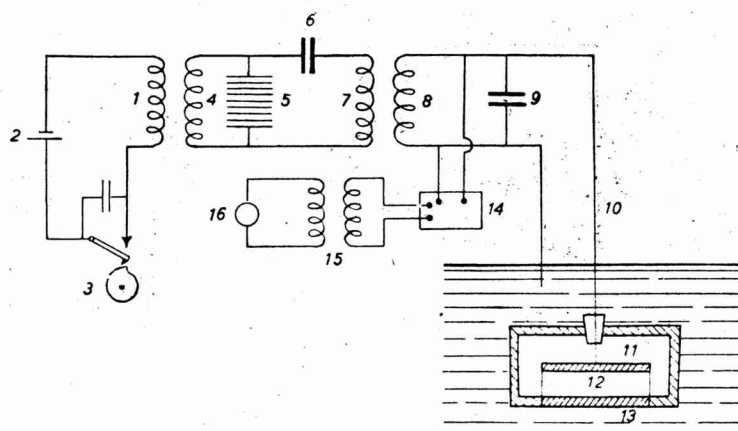
Poněvadž existují dva směry l a t , ve kterých jeví deštička piezoelektrické deformace, existují tudíž také dva druhy mechanických kmitů. Kmity ve směru l nazýváme *longitudinální*, kmity ve směru t *transversální* (viz obr. 2.) podle označení Cadyho

(1922). Jednoduché formule (19) velmi pěkně souhlasí s formulami, které získal experimentálně Hund, a které pro deštičku obdélníkovou dávají frekvenci vzorci

$$f_l = \frac{2870 \pm 50}{l}, \quad f_t = \frac{2785 \pm 300}{t}. \quad (20)$$

Je zajímavé, že Hund objevil vedle těchto dvou frekvencí ještě třetí základní frekvenci

$$f_{t'} = \frac{2945 \pm 300}{t'}, \quad (21)$$



Obr. 4.

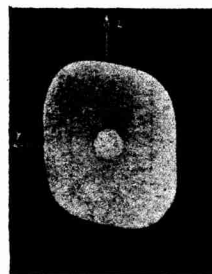
o níž se domnívá, že existuje ve směru optické osy krystalu. Délky l , t , t' se měří v mm, frekvence je pak dána v kilocyklech.

Langevin užil mechanických kmitů křemenných deštiček k měření hloubek mořských velmi důmyslným zařízením, které v nynějším provedení zaznamenává hloubku mořskou automaticky, takže je zavedeno témař na všech větších parnících. Schematicky je znázorněno na obr. 4, kde značí: 1 primární cívku Ruhmkorffova induktoru, 2 zdroj stejnosměrného napětí, 3 přerušovač proudu, 4 sekundární cívku, která budí oscilační kruh elektrickým nárazem, 5 vyhasínající jiskřiště Wienovo, 6 a 7 oscilační kruh, který působí na oscilační kruh 8 a 9, paralelně ke kondensátoru tohoto kruhu je připojen kondensátor s piezoelektrickým krystalem, 12 křemenná deštička, která leží mezi ocelovými deštičkami 11 a 13, 14 zesilovač, který je spojen přes transformátor 15 s osciloskopem 16.

Přerušením proudu v 3 vzniknou v 8 a 9 oscilace (trvající nejvýš tisícinu sekundy), které rozkmitají křemennou deštičku a jsou zaznamenány oscilografem. Kmity deštičky se přenesou na vodu, kterou se šíří až ke dnu, kde se odrazí, vrátí se ke křemenné deštičce a způsobí v důsledku reciprokového zjevu piezoelektrického novou výchylku oscilografu. Z doby t mezi oběma záznamy oscilografu a rychlosti v šíření zvukových vln ve vodě vypočteme hloubku mořskou podle vzorce $h = \frac{1}{2}vt$. Vhodným zařízením lze dosáhnouti toho, že je možno na grafu odečítati přímo hloubku mořskou.



Obr. 5.



Obr. 6.

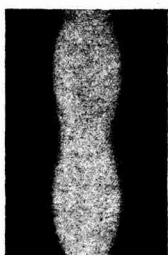
4. Zjevy doprovázející kmitání křemenných deštiček.

Kmity křemenných deštiček je možno, abych tak řekl, učiniti viditelnými, všimneme-li si zjevů, které kmitání deštiček doprovázejí.

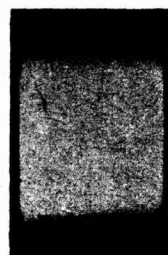
Podle analogie kmitání kovových desek získal Crossley (1928) „Chladniho obrazce“ i na křemenných deštičkách, které posypával jemným práškem — nejlépe plavuní —, a z vytvořených obrázků soudil na způsob kmitání křemenných deštiček (obr. 5). Straubel (1931) ukázal tímto způsobem, že není výhodné užívat deštiček pravoúhlých resp. kruhových, nýbrž deštiček zvláštního tvaru, jak ukazuje obr. 6, kde od středu deštičky jsou naneseny \sqrt{E} (E = modul elasticity, neboť $v = \sqrt{E/\sigma}$ (19)). Pak vzniká na deštičce jedený uzlový bod uprostřed deštičky, která kmitá v jediné frekvenci na rozdíl od deštiček pravoúhlých, které sice podle (20) a (21) mohou kmitati pouze ve třech frekvencích, ve skutečnosti však kmitají v mnoha frekvencích. Tak na př. deš-

tičku $t = 2.5 \text{ cm}$, $t' = 2.5 \text{ cm}$, $l = 0.57 \text{ cm}$ ($\lambda = 600 \text{ nm}$) jsem rozkmital ve směru osy elektrické, t. j. v longitudinálních kmitech ve 14 různých, velmi blízkých frekvencích.

Tyto frekvence lze velmi pohodlně sledovat optickou cestou. Vztahy mezi optickými a piezoelektrickými vlastnostmi byly totiž studovány záhy po objevení piezoelektrity v lineárně polarisovaném světle rovnoběžném Röntgenem (1883), ve světle sbíhavém Kundtem (1883). Oba ukázali, že stejnosměrné, dostatečně vysoké napětí, které vložíme na deštičku ve směru její elektrické osy, způsobí v deštičce změnu dvojlamu tlakem (t. zv. náhodný dvojlam), t. j. křemen stává se v důsledku svých piezoelektrických vlastností dvojosým.



Obr. 7a.



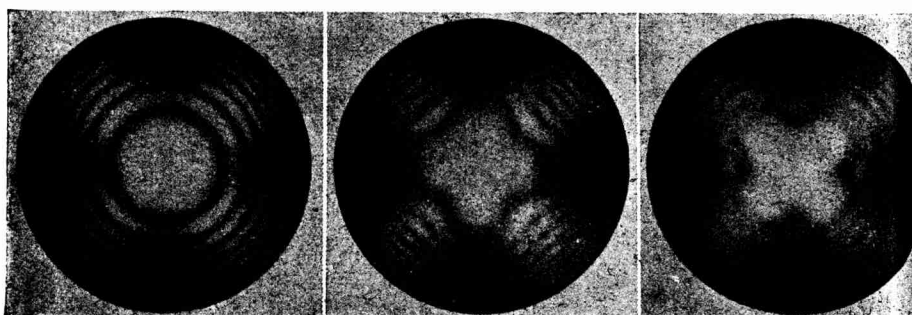
Obr. 7b.

Tawil (1926) pozoroval kmitající křemenné deštičky v lineárně polarisovaném světle rovnoběžném buď ve směru osy elektrické nebo optické. Objevily prý se mu velmi zajímavé obrázky (nepodává jejich fotografie), které byly jednoznačně přiřaděny jednotlivým vlnám. Obr. 7a podává fotografii tohoto zjevu, kterou jsem získal na deštičce ($l = 5.74 \text{ mm}$, $t = 10.37 \text{ mm}$, $t' = 11.03 \text{ mm}$) při longitudinálních kmitech s polepy kolmými k ose elektrické. Světlo procházelo ve směru osy optické, stočení polarisační roviny bylo vykompensováno deštičkou stejné tloušťky, opačně stáčející polarisační rovinu, takže deštička se jevila úplně temná. Byla-li rozkmitána, objevil se obr. 7a. Obdobné obrázky lze získat za téhož uspořádání pro transversální kmity (obr. 7b), po případě pro kmity harmonické.

Pozorujeme-li deštičku ve sbíhavém polarisovaném světle, objeví se známé soustředné kruhy, jak ukazuje obr. 8. Jsou-li polepy kolmy k elektrické ose, pak ať rozkmitáme deštičku v longitudinálních či transversálních kmitech, objeví se vždy obr. 9, jsou-li polepy rovnoběžné s elektrickou osou, vždy obr. 10. Tyto zjevy jsou ve zvláštním vztahu k výsledkům práce

Kundtovy, a poněvadž dosud nebyly nikým pozorovány, pojednám o nich podrobněji ve zvláštní práci.

V r. 1926 pozoroval Meissner, že kmitající deštička počala zpívati velmi vysokým tónem, resp. že kolem ní vznikaly vzdušné proudy, které způsobily, že polohu destičky mezi polepy pozměnily, po případě ji roztočily. Meissner sestavil na tomto principu malou hračku — krystalový motorek. Tento zjev je způsoben tím, že kolem kmitající deštičky vzniká akustické pole; zvukové vlny, které vycházejí od stěny deštičky, však vykazují nesymetrické rozdělení vzhledem k ose deštičky, čímž se vysvětluje vznik vzdušných



Obr. 8.

Obr. 9.

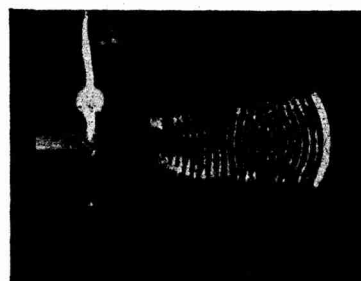
Obr. 10.

proudů kolem deštičky (obr. 5). Příčiny této nesymetrie tkví v tom, že deštička, je-li broušena tak, jak ukazuje obr. 2, kmitá velice komplikovaně (obr. 5), je-li však broušena dle návodu Straubelova (obr. 6), je i pole kolem deštičky pravidelné a možno velice krásně vytvořiti stojaté vlny, jak ukazuje obr. 11, vyreprodukovaný z práce Straubelovy. Tyto akustické vlny, jejichž vlnová délka může být tak malá, že jsou ultrasonorní, šíří se přibližně stejnou rychlosí jako vlny oboru slyšitelnosti a rozkmitají, mají-li vhodnou frekvenci, i jinou křemennou deštičku. Mohou však dokonce nejen amplitudu, ale i vlastní frekvenci křemenné deštičky ovlivnit, takže při deštičkách, sloužících za normály frekvence, nutno i na tuto okolnost dávat bedlivý pozor.

Pro kontrolu vlny vysilače a zvláště pak pro velmi přesné určování jeho frekvence má eminentní význam světélkování kmitající křemenné deštičky ve zředěném plynu, které objevili Giebe a Scheibe (1925). Cady doporučoval, aby polepy byly na křemenné deštičce direktně přiloženy, ovšem tak, aby neomezovaly kmitání deštičky; někteří fyzikové dokonce plochy, na něž vkládají elektrická napětí, pokovují. Giebe a Scheibe umisťují křemennou deštičku mezi polepy tak, že na každé straně zůstane nejméně 0·5 mm

mezera. V této úpravě ji montují do skleněné baničky, v níž je velmi zředěný neon, který se snadno uvádí do doutnavého výboje. Připojíme-li takto upravený křemenný resenátor paralelně k cívce o větší samoindukci, kterou spřáhneme s generátorem, tu v rezonanci tento resonátor velmi pěkně světlkuje mezi polepy a deštičkou (obr. 12).

Tento zjev si můžeme vysvětliti následovně. Střídavé pole mezi polepy způsobí deformace deštičky, které při resonanci přejdou v elastické kmity deštičky. Tyto kmity vyvolají v důsledku direktního zjevu piezoelektrického na stěnách destičky střídavá



Obr. 11.



Obr. 12.

napětí, která jsou příčinou doutnavého výboje. Poněvadž deformace jsou největší uprostřed deštičky a k jejím hranám se zmenšují, je i světlkování největší uprostřed deštičky a k jejím hranám se zmenšuje.

5. Buzení vyšších harmonických kmítů.

Kdybychom se pokusili rozkmitati deštičku, opatřenou po obou plochách $ABCD$ a FGH kovovými polepy, v první harmonické, resp. v lichých harmonických vůbec, nepotkali bychom se s úspěchem. V druhé, čtvrté, zkrátka v sudé harmonické se deštička rozkmitá.

Giebe a Scheibe šli po příčině tohoto zjevu, a vyložili jej na základě světlkování deštičky ve vakuu takto: Kmitá-li deštička v základní frekvenci n_0 , pak je největší komprese resp. dilatace uprostřed deštičky, jak naznačuje obr. 13. U harmonické frekvence $2n_0$ je deformace asi toho typu, jak ukazuje obr. 14. Kdyby byl tedy po obou stranách po celé délce deštičky jediný polep, tu muselo by totéž elektrické pole na jedné polovině deštičky způsobiti kompresi na druhé dilataci, což není možné.

Proto se nepodařilo Giebemu a Scheibemu ve frekvenci $2n_0$ deštičku rozkmitati; stalo se tak jen tehdy, byla-li v uspořádání nějaká náhodná nesymetrie. Proto upravili jmenovaní



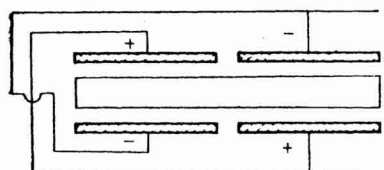
Obr. 13.



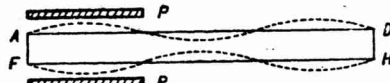
Obr. 14.

autoři polepy tak, jak ukazuje obr. 15, a deštičku bylo pak možno skutečně rozkmitati; analogicky byly upraveny polepy při ostatních lichých harmonických.

Při sudých harmonických nemusíme bráti zřetel ke tvaru polepů, neboť na př. deštička kmitá pro druhou harmonickou $3n_0$ ve tvaru, jak ukazuje obr. 15. Je tudíž již ve zjevu samém,



Obr. 15.



Obr. 16.

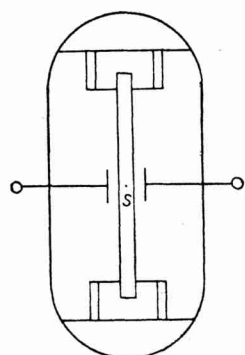
stejně jako při základní frekvenci, nesymetrie tím, že počet dilatací a kontrakcí se liší o 1. Proto se dají v uspořádání podle obr. 13 buditi sudé harmonické až do vysokých řádu, stačí však užívat docela malé polepy, jak ukazuje obr. 16. Jako příklad uvádíme z práce Giebeho a Scheibevoho obrázek deštičky, kmitající v 33. harmonické frekvenci (obr. 17).



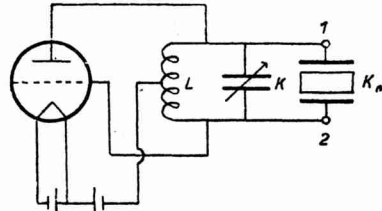
Obr. 17.

Aby bylo možno buditi jak liché, tak sudé vyšší harmonické, aniž by bylo třeba měnit polepy, užili Giebe a Scheibe malých polepů, které umístili malinko od středu S křemenné deštičky,

kterou upevnili na hedvábná vlákna do malé skleněné baničky, kterou naplnili zředěným neonem (obr. 18). Potřebné budíci napětí je circa 30—100 voltů. Obor, v němž se udržuje světélkování, obnáší při nejmenších budících napětí asi $0\cdot05\%$ po obou stranách maxima světélkování, přesnost, s kterou lze nastaviti frekvenci pomocí resonátoru, je circa $0\cdot01\%$; vlastní frekvence resonátoru je udávána s přesností $0\cdot1\%$.



Obr. 18.



Obr. 19.

6. Aplikace v oboru vysokofrekventní techniky.

V oboru vysoké frekvence se užívá křemenných deštiček jakožto resonátorů ke kontrole vlny vysílače, jakožto normálů frekvence, jakožto stabilisátorů frekvence a jakožto oscilátorů.

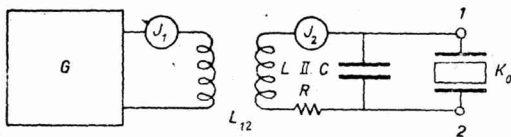
a) Křemenné deštičky jakožto resonátory a normály frekvence.

Užítí piezoelektrických krystalů ve vysoké frekvenci je zásluhou Cadyho (1922). Křemennou deštičku, broušenou podle obr. 2, vložíme mezi dva polepy a připojíme mezi body 1 a 2 paralelně ke kondensátoru v generátoru s vlastním buzením (na př. v Hartleyově spojení s induktivní zpětnou vazbou, obr. 19); vysílanou vlnu přijímáme přijímačem stojícím nabízkou. Měníme-li spojité kapacitu K v oscilačním kruhu generátoru, t. j. měníme-li spojité frekvenci generátoru na př. od hodnot vyšších k hodnotám nižším než je vlastní frekvence křemenné deštičky, tu se ozve v okamžiku rovnosti obou frekvencí „cvaknutí“ (angl. „click“) v přijímači. Cady vykládal toto cvaknutí zpětným působením kmitající křemenné deštičky na generátor.

Giebe a Scheibe, kteří užili toho zjevu k určování, zda určitá látka jeví piezoelektrické vlastnosti, vykládají tento zjev

takto: Křemenná deštička, která má velice malý útlum (její logaritmický dekrement je řádu 10^{-4}), kmitá ve vlastní frekvenci ještě určitou dobu potom, když už jsme, ménice frekvenci generátoru, resonanci překročili. Je tudíž dána možnost interference kmitů daných generátorem a kmitů daných deštičkou, které se v okolí resonance velmi málo od sebe liší a způsobují v přijimači cvaknutí.

Giebe a Scheibe objevili tímto způsobem piezoelektrické vlastnosti na celé řadě nových látek. Není třeba k tomu ani deštiček zvlášť broušených. Stačí rozdržit krystal látky, kterou chceme zkoumati, na drobné kousky a nasypati je mezi polepy malého kondensátoru K_0 . Při tom je pravděpodobné, že elektrické osy velkého množství těchto úlomků jsou přibližně orientovány ve směru elektrického pole v kondensátoru K_0 , takže



Obr. 20.

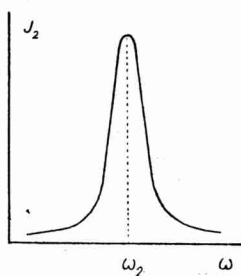
je tu dána možnost při spojité změně frekvence v generátoru tyto malé oscilátory rozkmitati a sice v důsledku jejich různé velikosti na nejrůznějších vlnách. Ozývá se tudíž při spojité změně frekvence v generátoru v přijimači neustálé cvakání; tím je charakterisována piezoelektrická látka vůči látce nejvíce piezoelektrických vlastností.

Tento zjev může sloužiti též k tomu, abychom určili (s chybou menší než 1% při frekvenci řádu jednoho milionu) frekvenci generátoru pomocí křemenné deštičky, jejíž frekvenci přesně známe; neboť při cvaknutí liší se obě frekvence pouze o výšku tónu, kterou slyšíme v přijimači (na př. 500 kmitů za sek.).

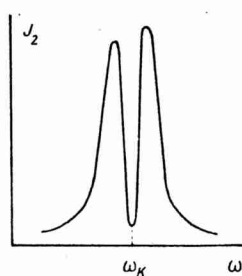
Ježto však je při změně kapacity K těžko určiti okamžik, kdy je frekvence právě rovna vlastní frekvenci křemenné deštičky, t. j. kdy nastává cvaknutí, užil Cady ještě jiného způsobu k stanovení resonance, který možno nazvat metodou absorpční.

S generátorem G netlumenných oscilací si spráhneme oscilační kruh II (obr. 20) a představme si nejprve, že křemenný rezonátor K_0 není ke kondensátoru C připojen. Měníme-li frekvenci generátoru, dostaneme jenoduchou resonanční křivku kruhu II , jejíž maximum nastává pro resonanci, t. j. pro případ, že vlastní frekvence ω_2 kruhu II je rovna frekvenci generátoru ω (obr. 21 a).

Nyní si připojme k oscilačnímu kruhu II kondensátor K_0 a nastavme frekvenci ω_2 velmi přibližně rovnou vlastní frekvenci křemenné deštičky ω_k . Měníme-li nyní frekvenci ω , dostaneme křivku zakreslenou v obr. 21 b. Minimum této rozštěpené křivky nastává pro onu frekvenci, pro kterou křemenná deštička odebírá kruhu II maximum energie pro udržení vlastních kmitů, t. j. pro frekvenci resonanční, kdy $\omega = \omega_k$. Známe-li tudíž frek-



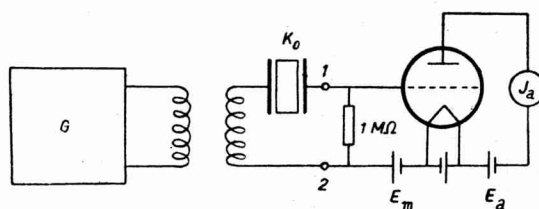
Obr. 21 a.



Obr. 21 b.

venci ω_k , je možno nejen frekvenci generátoru stále kontrolovati a konstantně udržovati, ale i velmi přesně určiti; tímto způsobem lze dosáhnouti při nastavení frekvence obdivuhodné přesnosti $0\cdot01\%$.

Tato přesnost při kontrolování vlny vysilače je až nepříjemná. Proto byla udána celá řada jiných metod, které umožňují zároveň stanovení resonanční křivky křemenného rezonátoru.



Obr. 22.

Heegner užil k tomu elektronové lampy v uspořádání naznačeném na obr. 22. Proud I_a v anodovém kruhu snížíme negativním předpětím mřížky E_m na minimum. Měníme-li v generátoru frekvenci tak, že se blížíme vlastní frekvenci křemenné deštičky K_0 , tu vznikají na jejích polepech v důsledku direktního zjevu piezoelektrického napětí, která se přenesou na mřížku a způsobí objevení anodového proudu. Měníme-li pak spojitě frekvenci

od hodnot vyšších k hodnotám nižším, než je vlastní frekvence křemenného resonátoru, projdeme tím resonanční křivku napětí, analogickou k resonanční křivce proudové. Maximum napětí na mřížce a tudíž maximum anodového proudu nastává opět, když $\omega = \omega_k$, takže tím máme dánu pohodlnou metodu, jak udržet konstantně vlnu vysilače a přesně ji stanovit.

Resonanční křivka je velice ostrá a lze z ní stanovit útlum křemenné deštičky. Meissner udává pro deštičku $\lambda = 500$ m, logaritmický dekrement longitudálních kmitů $d_l = 0.0004$, transversálních kmitů $d_t = 0.00012$, kdežto u obyčejného oscilačního kruhu s kapacitou a samoindukcí lze jej velmi těžko snížit pod hodnotu $d = 0.01$.

Jestě jednodušeji můžeme věc zařídit tak, že elektronovou lampu s milampérmetrem v anodovém kruhu nahradíme mezi body 1 a 2 krystalovým detektorem s paralelně připojeným galvanometrem, po případě můžeme užít doutnavé lampy.

Nejpohodlněji a zároveň nejpřesněji lze ovšem konstantně udržovat a určovat frekvenci vysilače užitím světélkujících resonátorů, které konstruovali Giebe a Scheibe (obr. 18) a o kterých bylo podrobně referováno v odstavci 4 resp. 5.

b) Elektrické náhradní schema křemenné deštičky.

Ze všech dosavadních experimentálních faktů je patrné, že se piezoelektrická deštička chová jako oscilační kruh dané frekvence a velmi malého útlumu.

Matematicky lze skutečně ukázati, že je možno po elektrické stránce nahradit křemennou deštičku kapacitami K_k a K_1 , samoindukcí L_k a ohmickým odporem R_k ve spojení naznačeném na obr. 23.

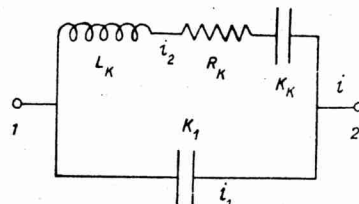
Aby na polepech kondensátoru kapacity K_1 vzniklo napětí V , je třeba dodat náboj $Q = K_1 V$. Je-li dielektrikem látka

piezoelektrická, vznikne působením napětí V na deskách kondenzátoru ještě náboj Q_2 , vybavený v důsledku piezoelektrické deformace, kterou způsobilo napětí V ; tento náboj je nutno kompensovat a tudíž celkem dodat náboj

$$Q = K_1 V + Q_2. \quad (22)$$

Působí-li na polepech střídavé napětí v , tu pro obyčejný kondensátor je dána okamžitá hodnota intenzity vzorcem

$$i = K_1 \frac{dv}{dt}.$$



Obr. 23.

Je-li dielektrikem křemenná deštička, je podle (22)

$$i = K_1 \frac{dv}{dt} + \frac{dq_2}{dt} = i_1 + i_2, \quad (23)$$

kde q_2 značí okamžitou hodnotu náboje Q_2 . Z této rovnice je patrno, že můžeme nahraditi křemennou deštičku dvěma kruhy, paralelně k sobě připojenými, jeden je tvořen kondensátorem K_1 , jehož dielektrikem je křemenná deštička, druhý kruh, jímž protéká intensita i_2 , nutno blíže vyšetřiti.

Třebaže křemenná deštička kmitá velice komplikovaně, jak je patrno z obr. 5, přece (zvláště, je-li vhodně broušena, obr. 6) můžeme si její mechanické kmity formulovati jako jednoduchý harmonický pohyb způsobený periodickou, mechanickou silou f_x . Této sile odpovídá podle Hookova zákona prodloužení ve směru osy x -ové (obr. 2)

$$\delta_x = af_x (a = \text{konst.}), \quad (24)$$

které podle (16) je úměrno napětí v

$$\delta_x = kv, \quad (25)$$

takže

$$f_x = Av, \quad A = \frac{k}{a}. \quad (26)$$

Zní tedy rovnice pro kmitavý, mechanický pohyb křemenné deštičky

$$\alpha \frac{d^2\delta_x}{dt^2} + \beta \frac{d\delta_x}{dt} + \gamma \delta_x = f_x = Av, \quad (27)$$

kde α je úměrno hmotě, β útlumu a γ elastickým silám vzbuzným deformací. Podle (1) a (24) je

$$q_2 = kf_x = A\delta_x, \quad (28)$$

takže

$$i_2 = A \frac{d\delta_x}{dt}.$$

Dosadíme-li do rovnice (27), jest

$$\frac{\alpha}{A^2} \frac{d^2i_2}{dt^2} + \frac{\beta}{A^2} \frac{di_2}{dt} + \frac{\gamma}{A^2} i_2 = \frac{dv}{dt}. \quad (29)$$

Uvažujme nyní, jak naznačeno na obr. 23, větev mezi body 1 a 2 se samoindukcí L_k , odporem R_k a kapacitou K_k , při čemž mezi body 1 a 2 působí napětí v ; pak

$$L_k \frac{di_2}{dt} + R_k i_2 + v_2 = v,$$

kde

$$q_2 = K_k v_2, \quad i_2 = dq_2/dt,$$

takže

$$L_k \frac{d^2 i_2}{dt^2} + R_k \frac{di_2}{dt} + \frac{i_2}{K_k} = \frac{dv}{dt}. \quad (30)$$

Porovnáme-li rovnice (29) a (30), jest

$$L_k = \frac{\alpha}{A^2}, \quad R_k = \frac{\beta}{A^2}, \quad K_k = \frac{A}{\gamma^2}. \quad (31)$$

Tím je dokázáno, že lze nahradit křemennou deštičku po elektrické stránce kondensátorem K_1 k němuž je paralelně připojen kruh skládající se ze samoindukce L_k , odporu R_k a kapacity K_k , daných vzorci (31).

Pro křemennou deštičku, broušenou tak, jak ukazuje obr. 2, a kmitající v longitudinálních kmitech, udává Cady formule

$$\begin{aligned} L_k &= 130 \frac{l^3}{tt'} H \\ R_k &= 130.000 \frac{l}{tt'} \Omega \\ K_k &= 0.0022 \frac{tt'}{l} \mu\mu F \\ K_1 &= 0.4 \frac{tt'}{l} \mu\mu F, \end{aligned}$$

měříme-li l , t , t' v cm.

Pro křemennou deštičku rozměrů: $l = 5.74_5$ mm, $t = 25.0$ mm, $t' = 25.0$ mm je podle těchto vzorců $L_k = 3.94$ H, $R_k = 11.940$ Ω, $K_k = 0.0239 \mu\mu F$, $K_1 = 4.35 \mu\mu F$, $\omega_k = 3.18_4 \cdot 10^6$ p/s. Z toho je okamžitě patrno, že není možno skutečně provést takovou nahradu, neboť cívka o samoindukcí $L_k = 3.94$ H by měla vlastní kapacitu mnohonásobně větší, než jsou nepatrné hodnoty kapacit K_k a K_1 .

Užitečnost náhradního schématu poznáme ihned, spočítáme-li si jako příklad spojení pro absorpční metodu stanovení resonance, jak je zakresleno v obr. 20; kondensátor K_0 s křemennou deštičkou mezi body 1 a 2 si myslíme nahrazen náhradním schématem (obr. 23). Pak je

$$K_0 = \frac{R_k + j\omega L_k + \frac{1}{j\omega K_k} + \frac{1}{j\omega K_1}}{R_k + j\omega L_k + \frac{1}{j\omega K_k}} K_1$$

aneb, zanedbáme-li odpor R_k , je

$$K_0 = K_k \frac{1 - L_k K_1 \omega^2 + \frac{K_1}{K_k}}{1 - L_k K_k \omega^2}. \quad (32)$$

Tento výraz se rovná pro

$$\omega = 0 \quad K_0 = K_k + K_1,$$

$$\omega_k = 1/\sqrt{L_k K_k} \quad K_0 = \infty \text{ (vlastní frekvence křem. deštičky),}$$

$$\omega_6 = \frac{1}{\sqrt{L_k K_k}} \cdot \sqrt{\frac{K_1 + K_k}{K_1}}, \quad K_0 = 0,$$

$$\omega = \infty, \quad K_0 = K_1,$$

takže K_0 jakožto funkce ω má průběh, jak ukazuje obr. 24.

Pro vlastní frekvenci ω_k křemenné deštičky se stává K_0 nekonečně velkým, neboť jsme zanedbali odpor R_k .

Označíme-li C kapacitu, L úhrnnou samoindukci a R úhrnný odpor kruhu II, je intensita \mathfrak{J}_2 dána výrazem

$$\mathfrak{J}_2 = -\frac{j\omega L_{12} \mathfrak{J}_1}{R + j\omega L + \frac{1}{j\omega\gamma}},$$

$$\text{kde } \frac{1}{\gamma} = \frac{1}{C} + \frac{1}{K_0}, \quad \text{takže}$$

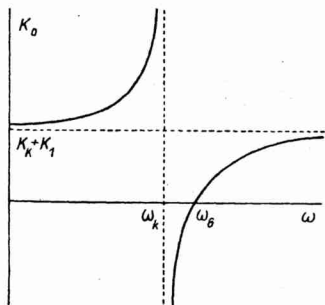
$$y = \left| \frac{\mathfrak{J}_2^2}{\mathfrak{J}_1^2} \right| = \frac{\omega^2 L_{12}^2}{R^2 + \frac{1}{\omega^2} \left(L \omega^2 - \frac{1}{\gamma} \right)^2}.$$

Minimum tohoto výrazu je tam, kde jeho jmenovatel nabývá maxima, t. j. pro $\gamma = 0$, čili pro $K_0 = -C$, t. j. podle (32) pro

$$\omega_3 = \omega_k \sqrt{1 + \frac{K_k}{C + K_1}} = \omega_k, \quad (33)$$

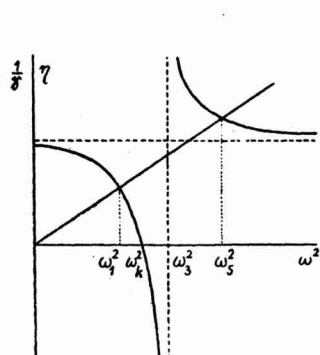
neboť $K_k/(C + K_1)$ je řádu 10^{-4} (pro uvedenou deštičku je $K_k = 2.39 \cdot 10^{-2} \mu\mu F$, $K_1 = 4.35 \mu\mu F$, kapacita C je pro frekvenci $\omega_k = 3.18 \cdot 10^6 p/s$ řádově $5 \cdot 10^2 \mu\mu F$).

Maximum nastává, kde jmenovatel nabývá minima, t. j. pro $L\omega^2 = 1/\gamma$. Průběh $1/\gamma$ jakožto funkce ω^2 je vzhledem k průběhu K_0 jakožto funkce ω (obr. 24) dán obr. 25. Zaneseme-li do tohoto obrazu též přímku $\eta = L\omega^2$, protne křivku $1/\gamma$ pro ω_1 a pro ω_5 , a to jsou právě hledané body, pro které $L\omega^2 = 1/\gamma$, a pro které y nabývá maxima.

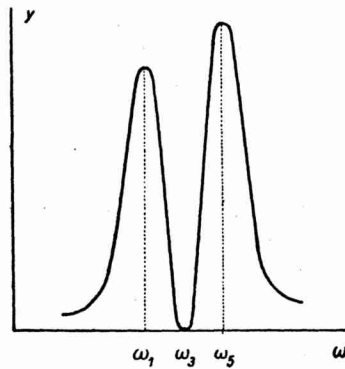


Obr. 24.

Ježto pro $\omega = 0$ je $y = 0$, pro $\omega = \infty$ je $y = L_{12}^2/L_2^2 < 1$, je průběh y jakožto funkce ω dán křivkou zanesenou v obr. 26. Je-li vazba mezi generátorem a kruhem II velmi volná, pak je \Im_1 konstantní a \Im_2 jakožto funkce ω má tentýž průběh jako y . Dostáváme tudíž teoreticky křivku úplně shodnou s křivkou v obr. 21 b) získanou experimentálně. Mimo to však víme, že v minimu, t. j. pro ω_3 , se liší frekvence ω od vlastní frekvence ω_k křemenné deštičky rádově o 0·01%. Známe-li tudíž přesně vlastní frekvenci křemenné deštičky, kterou zaručují dodávající firmy na 0·1% (možno ji též nechat kontrolovat v P. T. R.), známe tím i velice přesně vlnu vysilače.



Obr. 25.



Obr. 26.

c) Stabilisace frekvence vysilače.

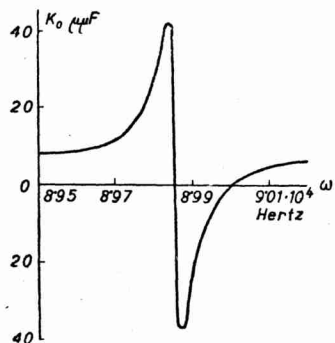
Připojme si křemennou deštičku paralelně ke kapacitě oscilačního kruhu lampového generátoru (obr. 19) a změnou kapacity měňme frekvenci generátoru od hodnot nižších k hodnotám vyšším; pak v oboru, kde vlastní frekvence křemenné deštičky je přibližně rovna vlastní frekvenci generátoru, se frekvence generátoru téměř nemění čili je účinkem křemenné deštičky stabilisována.

Zjev si můžeme vyložit následovně: představíme-li si křemennou deštičku s polepy jako malý kondenzátor kapacity K_0 , mění se teoreticky tato kapacita v závislosti na frekvenci ω podle křivky v obr. 24. Ovšem tato křivka byla získána za předpokladu $R_k = 0$, takže experimentálně dostaneme křivku, jak ukazuje obr. 27. Tento zjev je způsoben dispersí dielektrické konstanty, jak Errera na Seignetteově soli dokázal. Ježto dielektrická konstanta souvisí s indexem lomu světla, jeví se nyní

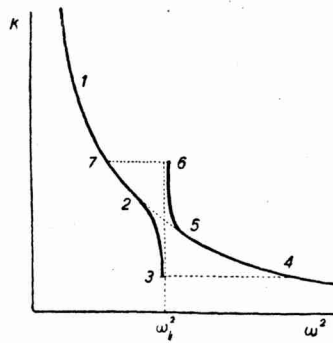
pochopitelnými zjevy pozrované v polarisovaném světle, o nichž byla zmínka v odst. 4.

Frekvence generátoru bez připojeného kondensátorku K_0 se mění přibližně podle známé formule Thomsonovy $\omega = 1/\sqrt{LK}$ čili $\omega^2 K = \text{konst.}$, t. j. podle rovnoosé hyperboly.

Měníme-li nyní kapacitu K , k níž je paralelně připojen kondensátor K_0 s křemennou deštičkou, mění se frekvence generátoru v závislosti na ω podle křivky v obr. 28. Měníme-li ka-



Obr. 27.



Obr. 28.

pacitu K od hodnot velkých k malým, klesá kapacita $K + K_0$ až do bodu 2, odkud zůstává až do bodu 3 téměř konstantní, neboť úbytek kapacity K je vyrovnaný přírůstkem kapacity K_0 podle obr. 27. Poněvadž tedy v tomto oboru zůstává kapacita oscilačního kruhu téměř konstantní, zůstává i frekvence generátoru konstantní. Podobně je stabilisována frekvence, jdeme-li od malých hodnot k velkým hodnotám kapacity.

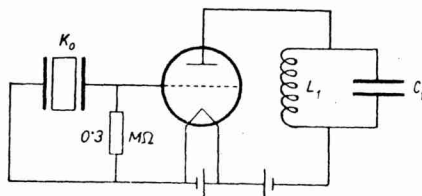
Zajímavé je při tom, jak se dá experimentálně zjistit, že se frekvence mění z bodu 3 do bodu 4 skokem a obráceně z bodu 6 do bodu 7 rovněž skokem.

Nevýhoda tohoto uspořádání spočívá v tom, že frekvence je stabilisována poměrně v malém oboru (na obr. je ovšem kreslen obor větší, aby byl obrázek zřetelnější), a že frekvence se mění v určitých bodech skokem.

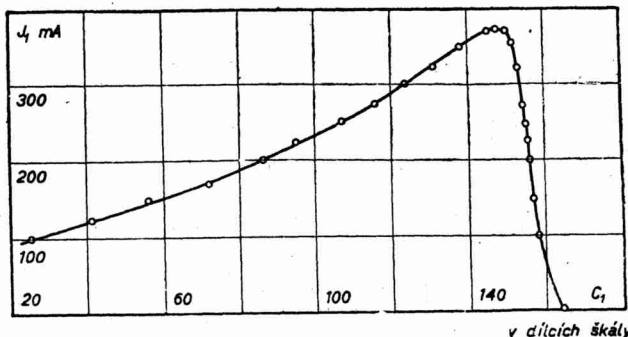
d) Křemenné deštičky jakožto oscilátory.

Z uvedených důvodů byla hledána uspořádání, v nichž křemenná deštička (křemenný oscilátor) budí lampový generátor a sice ve své vlastní frekvenci, kterou udržuje i lampový generátor dokonce s přesností circa 1%.

Takových uspořádání dnes existuje celá řada, s oblibou se však užívá uspořádání Pierceova naznačeného na obr. 29. Poněvadž si můžeme křemenný oscilátor po elektrické stránce nahradit oscilačním kruhem podle obr. 23, je z toho patrno, že toto uspořádání může fungovat jako lampový generátor ve spojení Kühn-Huthové, kde zpětnou vazbu tvoří kapacita mezi mřížkou a anodou. Kdy skutečně v tomto uspořádání oscilace vznikati mohou, na to odpovídá obecná věta: Oscilační systém obsahující „negativní odpor“²⁾ budí sám sebe tehdy, je-li úhrnný odpor pro danou frekvenci negativní. A tu jak experimentálně, tak početně se dá ukázati, že v uspořádání Pierceově existují pro daný křemenný oscilátor, t. j. pro danou frekvenci, dvě docela určité hodnoty kapacity C_1 : hodnota, pro kterou oscilace nasadí a hodnota, pro kterou oscilace (pravidelně skokem) vysadí (obr. 30, kde je znázorněn oscilační proud I_1 protékající kapacitou C_1 v závislosti na této kapacitě). Při tom frekvence vznikajících



Obr. 29.



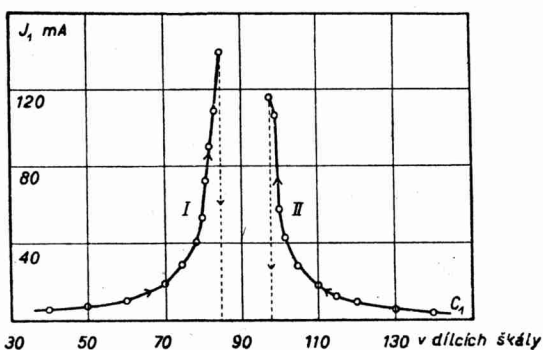
Obr. 30.

oscilací je rovna vlastní frekvenci křemenného oscilátoru s přesností menší 1% ; známe-li tedy tuto frekvenci přesně, známe přesně i vlnu generátoru. Pro tyto dvě vlastnosti — konstantní udržování vlny vysiláče a zároveň přesné její číselné udání — užívá se tohoto uspořádání nejen k laboratorním účelům, nýbrž

²⁾ Ony části vedení, které protékajícímu proudu energii dodávají, se nazývají „negativní odpory“, ony části, které energii spotřebují, jsou normální (positivní) odpory.

i pro velké vysílací stanice, zvláště krátkovlnné, na př. v Poděbradech a nová rozhlasová stanice v Liblicích u Čes. Brodu. Ovšem je třeba energii tohoto jednolampového generátoru (který dává max. 10 watt) mnohonásobně zvýšit.

Připojíme-li křemenný oscilátor mezi mřížku a anodu, funguje toto uspořádání také jako generátor, avšak oscilace nasazují od větších hodnot kapacity C_1 k menším, jak ukazuje obr. 31, kde křivka I je měřena pro oscilátor mezi mřížkou a katodou, křivka II pro oscilátor mezi mřížkou a anodou; obě ukazují případ, kdy oscilace vysazují skokem na rozdíl od obr. 30.



Obr. 31.

7. Závěr. Článek tento měl souborně pojednat o piezoelektrických vlastnostech křemene a jejich použití ve vysokofrekvenční technice. Omezil jsem se pouze na hlavní věci a nezabíhal jsem nikde do podrobností z toho důvodu, aby se článek nestal nepřehledným. Neobsahuje tudíž partie, které by pojednávaly o piezoelektrině vzbuzené torsí, resp. ohýbáním, ani ještě o některých jiných aplikacích, jako je na př. piezoelektrický oscilograf, nebo o biologických účincích křemenných desetiček kmitajících ve vodě. Tyto partie najde laskavý čtenář v obširnějších pojednáních: Bedeau, Le quartz piézo-électrique et ses applications dans la technique des ondes hertziennes (Mémorial des Sciences physiques, fascicule VI, 1928); Scheibe, Piezoelektrische Resonanzerscheinungen, (Jahrb. d. drahtl. Telegr. u. Teleph., Bd. 28, S. 15, 1926), po případě v původních pojednáních, jejichž seznam je uveden do r. 1928 v Cady-ho: Bibliography on piezo-electricity (Proc. of the Institute of Radio Engineers, vol. 16, p. 522, 1928).

II. oddělení fyzikálního ústavu Karlovy univesity v Praze.

**Le quartz piézo-électrique et son utilisation dans la technique
des ondes hertziennes.**

(L'extrait de l'article précédent.)

L'article précédent traite synthétiquement les phénomènes piézo-électriques, direct et inverse, ainsi que les vibrations mécaniques des lames de quartz et les phénomènes par lesquels ces vibrations sont accompagnées. Les vibrations mécaniques ont trouvé bien des applications (mesure de la profondeur des mers, l'oscillographe piézo-électrique) surtout dans la technique des ondes hertziennes, où l'on les emploie pour mesurer exactement les longueurs d'ondes, pour stabiliser la fréquence et pour obtenir d'oscillations entretenues de haute fréquence.